

TRL校准的解析计算方法

Analytical Calculations for TRL Calibration

Kassem Hamze^{1,2}, Edouard De Ledinghen¹, Daniel Pasquet² 和 Philippe Descamps²;
1: 诺曼底大学, 2: Presto工程欧洲分公司

众所周知的TRL校准方法可以消除被测器件 (DUT) 输入和输出端口的测量误差。它使用矩阵形式表达, 因而在实验性软件中并不容易实现。在本文中, 我们提供了TRL计算过程的解析式版本, 可以更容易在代码中实现。

矢量网络分析仪 (VNA) 通常被校准到它们自己的参考平面上, 而这些参考平面通常不同于DUT的参考平面。在使用VNA进行S参数测量时, 通过使用各种连接装置连到DUT进行测量。而这些连接装置, 例如射频电缆和接头, 会导致相移、损耗和失配, 从而引入测量误差 (参见图1)。必须通过校准来消除这些误差, 才能获得DUT的真实特性。可采用各种校准方法——例如短路、开路、负载、直通 (SOLT) 方法, 直通、反射、传输线 (TRL) 方法, 或者直通、反射、匹配 (TRM) 方法——来确定测试错误项。大多数校准方法都需要精准的的标准件, 而TRL校准则不依赖于完全已知的标准件。¹⁻⁴

TRL校准

DUT的S参数由图2a中所示的信号流图表示。而实际测量到的DUT的原始S参数, 则包括了测量误差, 可用图2b中所示的信号流图表示。由图1中所示的误差框代表的误差项的S参数可按如下方法确定。

在前向传输方向上, 可以测量如下三个比值:

$$A_F = \frac{b_0}{a_0}; B_F = \frac{b_3}{a_0}; C_F = \frac{a_3}{a_0} \quad (1)$$

$$A_F = S_{m11} + C_F S_{m12} \quad (2a)$$

$$B_F = S_{m21} + C_F S_{m22} \quad (2b)$$

在反向传输方向上, 可以测量如下三个比值:

$$A_R = \frac{b_3}{a_3}; B_R = \frac{b_0}{a_3}; C_R = \frac{a_0}{a_3} \quad (3)$$

$$A_R = S_{m22} + C_R S_{m21} \quad (4a)$$

$$B_R = S_{m12} + C_R S_{m11} \quad (4b)$$

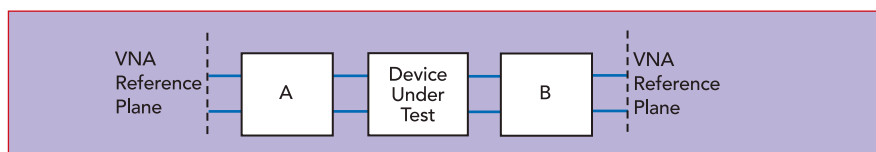


图1: 校准模型包括DUT, 以及其输入和输出端到VNA参考平面之间的过渡部分。

所得到的S参数为:

$$S_{m11} = \frac{A_F - C_F B_R}{1 - C_F C_R} \quad (5a)$$

$$S_{m21} = \frac{B_F - C_F A_R}{1 - C_F C_R} \quad (5b)$$

$$S_{m22} = \frac{A_R - C_R B_F}{1 - C_F C_R} \quad (5c)$$

$$S_{m12} = \frac{B_R - C_R A_F}{1 - C_F C_R} \quad (5d)$$

校准步骤

S_{ij} 是DUT的S参数, e_{ij} 则是描述错误项。必须事先知道标准件的若干特性的取值。这些信息被称为“校准套件”。

$$\text{Thru: } S^{\text{thru}} = \begin{pmatrix} 0 & 1 \\ 1 & 0 \end{pmatrix}$$

将DUT的输入输出参考平面重叠到一起就得到了直通标准件, 可用于确定DUT参考平面的位置。

$$S_{m11}^{\text{thru}} = e_{00} + e_{10} e_{01} \frac{e_{22}}{1 - e_{11} e_{22}} = R_{F1} \quad (6)$$

$$S_{m12}^{\text{thru}} = \frac{e_{01} e_{23}}{1 - e_{11} e_{22}} = T_{R1} \quad (7)$$

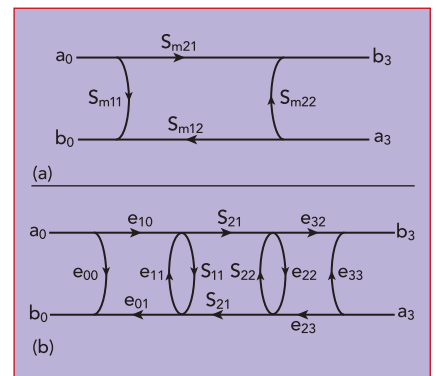


图2: DUT的S参数信号流图表示 (a)。含八个误差项的误差模型叠加到DUT上 (b)。

$$S_{m21}^{thru} = \frac{e_{10}e_{32}}{1 - e_{11}e_{22}} = T_{F1} \quad (8)$$

$$S_{m22}^{thru} = e_{33} + e_{32}e_{23} \frac{e_{11}}{1 - e_{11}e_{22}} = R_{R1} \quad (9)$$

$$\text{Line: } S^{line} = \begin{pmatrix} 0 & X \\ X & 0 \end{pmatrix}$$

尽管传输线标准件可以是任何无源对称双端口网络，但通常是采用|X|取值接近于1的传输线。⁵然后参考阻抗就对应于这两个端口的特征阻抗。校准套件中使用的X的相位必须事先知道，可允许到90度以内误差。

$$S_{m11}^{line} = e_{00} + e_{10}e_{01} \frac{e_{22}X^2}{1 - e_{11}e_{22}X^2} = R_{F2} \quad (10)$$

$$S_{m12}^{line} = \frac{e_{01}e_{23}X}{1 - e_{11}e_{22}X^2} = T_{R2} \quad (11)$$

$$S_{m21}^{line} = \frac{e_{10}e_{32}X}{1 - e_{11}e_{22}X^2} = T_{F2} \quad (12)$$

$$S_{m22}^{line} = e_{33} + e_{32}e_{23} \frac{e_{11}X^2}{1 - e_{11}e_{22}X^2} = R_{R2} \quad (13)$$

$$\text{Reflect: } S^{ref} = \begin{pmatrix} \Gamma_B & 0 \\ 0 & \Gamma_B \end{pmatrix}$$

通常 $|\Gamma_B|$ 取值接近1。两个端口上的反射系数的相位必须相同。如果不相同，则必须设法移动参考平面，直到找到相位相等的位置。校准套件中的 Γ_B 的相位也必须实现确定到90度以内误差。

$$S_{m11}^{ref} = e_{00} + \frac{e_{10}e_{01}\Gamma_B}{1 - e_{11}\Gamma_B} = R_{F3} \quad (14)$$

$$S_{m22}^{ref} = e_{33} + \frac{e_{32}e_{23}\Gamma_B}{1 - e_{22}\Gamma_B} = R_{R3} \quad (15)$$

计算方法

从等式6和10以及9和13可得：

$$R_{F1} - R_{F2} = \frac{e_{10}e_{22}}{e_{32}}(T_{F1} - T_{F2}X) \quad (16a)$$

$$R_{R1} - R_{R2} = \frac{e_{32}e_{11}}{e_{01}}(T_{R1} - T_{R2}X) \quad (16b)$$

如果按如下定义 α 和 β ：

$$\alpha = e_{11}e_{22} \text{ and } \beta = (R_{F1} - R_{F2})(R_{R1} - R_{R2}) \quad (17a)$$

$$\begin{cases} \beta = \alpha(T_{F1} - XT_{F2})(T_{R1} - XT_{R2}) \\ \frac{T_{F1}}{T_{F2}} = \frac{1 - \alpha X^2}{(1 - \alpha)X} \end{cases} \quad (17b)$$

我们可得到 $|\alpha|$ 的两个表达式：

$$\begin{cases} \alpha = \frac{\beta}{(T_{F1} - XT_{F2})(T_{R1} - XT_{R2})} \\ \alpha = \frac{T_{F2} - XT_{F1}}{X(XT_{F2} - T_{F1})} \end{cases} \quad (18)$$

由此可得到X的二阶方程：

$$X^2 + \frac{\beta - T_{F1}T_{R1} - T_{F2}T_{R2}}{T_{F1}T_{R2}}X + \frac{T_{R1}T_{F2}}{T_{F1}T_{R2}} = 0 \quad (19)$$

该方程有两个解，对于损耗小的传输线来说，|X|的两个解的取值都接近于1，导致难以选择正确的解。因此选择 $|\alpha| < 1$ 更为安全。

$$\alpha = \frac{\beta}{(T_{F1} - XT_{F2})(T_{R1} - XT_{R2})} \quad (20)$$

根据等式5和9，可知方向性(e_{00} 和 e_{33})是入射信号的泄漏部分与反射信号的比值：

$$e_{00} = \frac{R_{F1}(1 - \alpha)X^2 - R_{F2}(1 - \alpha X^2)}{X^2 - 1} \quad (21a)$$

$$e_{33} = \frac{R_{R1}(1 - \alpha)X^2 - R_{R2}(1 - \alpha X^2)}{X^2 - 1} \quad (21b)$$

$$\begin{cases} R'_{F1} = R_{F1} - e_{00} \text{ and } \\ R'_{R1} = R_{R1} - e_{33} \end{cases} \quad (22)$$

从方程式14和6可得：

$$\frac{\Gamma_B}{e_{22}} = \frac{R'_{F3}}{R'_{F1} + \alpha(R'_{F3} - R'_{F1})} \quad (23a)$$

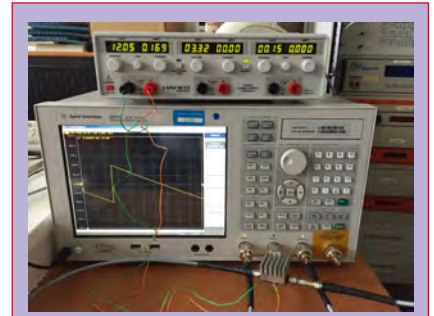
从方程15和9可得：

$$\Gamma_B e_{22} = \frac{R'_{R3}\alpha}{R'_{R1} + \alpha(R'_{R3} - R'_{R1})} \quad (23b)$$

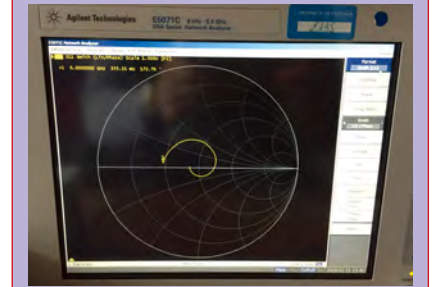
因此：

$$\Gamma_B = \left(\frac{R'_{F3}R'_{R3}\alpha}{(R'_{F1} + \alpha(R'_{F3} - R'_{F1}))(R'_{R1} + \alpha(R'_{R3} - R'_{R1}))} \right)^{\frac{1}{2}} \quad (24)$$

端口失配项(e_{22} 和 e_{11})为：



(a)



(b)

图3、矢量网络分析仪 (a) 和史密斯圆图上显示的S11 (b)。

$$e_{22} = \frac{R'_{F1} + \alpha(R'_{F3} - R'_{F1})}{R'_{F3}} \Gamma_B \quad (25a)$$

$$e_{11} = \frac{\alpha}{e_{22}} \quad (25b)$$

以下所有结果均对应于传输项。只需要知道他们的乘积就足够了。

传输量跟踪：

$$e_{10}e_{32} = T_{F1}(1 - \alpha) \quad (25c)$$

$$e_{01}e_{23} = T_{R1}(1 - \alpha) \quad (25d)$$

反射量跟踪：

$$e_{10}e_{01} = \frac{R'_{F3}(1 - e_{11}\Gamma_B)}{\Gamma_B} \quad (25e)$$

$$e_{23}e_{32} = \frac{R'_{R3}(1 - e_{22}\Gamma_B)}{\Gamma_B} \quad (25f)$$

通过去嵌入提取DUT的S参数

S_{ij} 分别对应于提取出的DUT的特性。下述的去嵌入技术通过消除一整套包裹在DUT周围的误差项来提取DUT的真实参数。

$$S_{11} = \frac{y}{y} \quad (26)$$

$$\frac{A_{11}(1 + A_{22}e_{22}) - A_{12}A_{21}e_{22}}{(1 + A_{11}e_{11})(1 + A_{22}e_{22}) - A_{12}A_{21}e_{11}e_{22}}$$

$$S_{12} = \quad (27)$$

$$\frac{A_{12}(1 + A_{11}(e_{22} - e_{11}))}{(1 + A_{11}e_{11})(1 + A_{22}e_{22}) - A_{12}A_{21}e_{11}e_{22}}$$

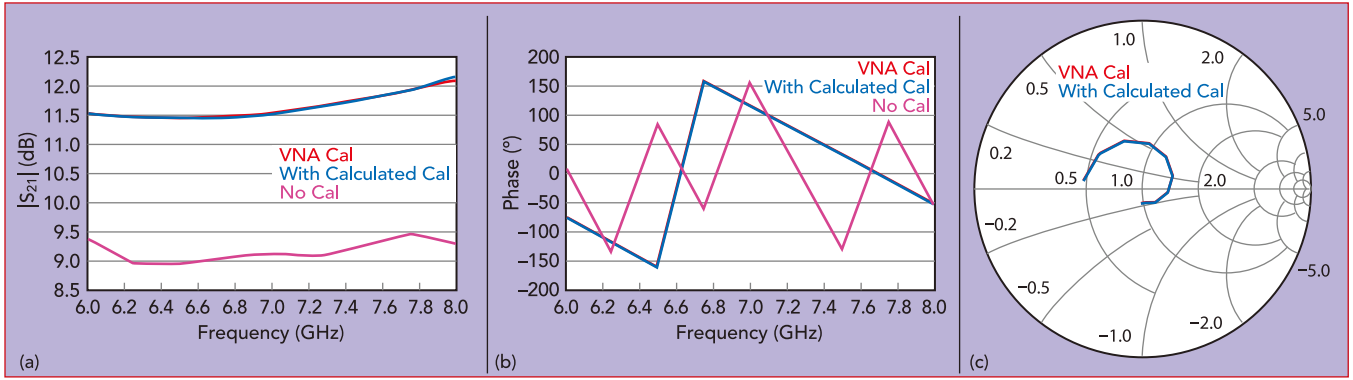


图4: 使用VNA内部方法测量的和本文TRL方法计算的 $|S_{21}|$ (a), $\angle S_{21}$ (b) 和 S_{11} (c)。

$$S_{21} = \frac{A_{21}(1 + A_{22}(e_{22} - e_{11}))}{(1 + A_{11}e_{11})(1 + A_{22}e_{22}) - A_{12}A_{21}e_{11}e_{22}} \quad (28)$$

$$S_{22} = \frac{A_{22}(1 + A_{11}e_{11}) - A_{12}A_{21}e_{11}}{(1 + A_{11}e_{11})(1 + A_{22}e_{22}) - A_{12}A_{21}e_{11}e_{22}} \quad (29)$$

$$S_{11} = \frac{A_{11}(1 + A_{22}e_{22}) - A_{12}A_{21}e_{11}}{(1 + A_{11}e_{11})(1 + A_{22}e_{22}) - A_{12}A_{21}e_{11}e_{22}} \quad (30)$$

通过 S_{mij}^{DUT} 表示VNA参考平面之间测量到的DUT的S参数,

$$A_{11} = \frac{S_{m11}^{DUT} - e_{00}}{e_{10}e_{01}} \quad (30a)$$

$$A_{12} = \frac{S_{m12}^{DUT}}{e_{01}e_{23}} \quad (30b)$$

$$A_{21} = \frac{S_{m21}^{DUT}}{e_{10}e_{32}} \quad (30c)$$

$$A_{22} = \frac{S_{m22}^{DUT} - e_{33}}{e_{32}e_{23}} \quad (30d)$$

方法验证

将标称增益为10 dB的4至8 GHz放大器作为DUT, 使用VNA进行了测量,

以验证TRL校准方法和效率(参见图3)。图4显示了DUT传输系数的幅度 $|S_{21}|$, 图4b显示了它的相位。曲线对应于未经校准测量的 S_{21} 、使用VNA内部校准算法测量到的 S_{21} 和使用本文中描述的方法计算所得的 S_{21} 。结果显示两种校准方法之间几乎没有差异。图4c显示了在史密斯圆图上绘制的 S_{11} , 两条曲线分别表示使用VNA内置校准所得的测量值, 以及使用本文中描述的方法计算出的值。所有曲线都显示了 S_{11} 和 S_{21} 的解析计算值与VNA内部校准算法确定的值之间的一致性。

结论

与众所周知的TRL校准方法对应的解析计算方法, 相比传统的矩阵形式降低了计算复杂度。³这种方法可以扩展用于更多的测量情形, 特别是对于差分输入和输出的情况。⁶⁻⁷ ■

参考文献

1. G. Antonini, A. C. Scogna and A. Orlandi, "De-Embedding Procedure Based on Computed/Measured Data Set for PCB Structures Characterization," IEEE Transactions on Advanced Packaging, Vol. 27, No. 4, November 2004, pp. 597-602.
2. C. J. Ong, A. Tripathi, D. Miller and L. Tsang, "De-Embedding a Device Under Test (DUT) Using 'Thru' Measurements," Electrical Performance of Electronic Packaging, October 2003.
3. H. J. Eul and B. Schiek, "Thru-Match-Reflect: One Result of a Rigorous Theory for De-Embedding and Network Analyzer Calibration," 18th European Microwave Conference, September 1988.
4. G. F. Engen and C. A. Hoer, "Thru-Reflect-Line: An Improved Technique for Calibrating the Dual Six-Port Automatic Network Analyzer," IEEE Transactions on Microwave Theory and Techniques, Vol. 27, No. 12, December 1979, pp. 987-993.
5. J. A. Reynoso-Hernandez, M. A. Pulido-Gaytan, A. Zarate-Landa, J. E. Zuniga-Juarez, J. R. Monjardin-Lopez, A. Garcia-Osorio, D. Orozco-Navarro, J. R. Loo-Yau and M. C. Maya-Sanchez, "Using Lines of Arbitrary Impedance as Standards on the TRL Calibration Technique," 81st ARFTG Microwave Measurement Conference, June 2013.
6. A. Ferrero and U. Pisani, "Two-Port Network Analyzer Calibration Using an Unknown Thru," IEEE Microwave and Guided Wave Letters, Vol. 2, No. 12, December 1992, pp. 505-507.
7. B. Hofmann and S. Kolb, "A Multistandard Method of Network Analyzer Self-Calibration Generalization of Multiline TRL," IEEE Transactions on Microwave Theory and Techniques, Vol. 66, No. 1, January 2018, pp. 245-254.

MiniRF

性能卓越的无源器件

3 GHz 及以上 新产品

- 符合DOCSIS 3.1和全双工要求
- 可达最大射频输出功率
- 可重复性和可靠性高
- 100% 射频测试

标准和定制器件

耦合器	分配器	变压器	射频扼流圈
<p style="font-weight: bold; margin: 0;">MRFCP6762</p> <p style="font-size: x-small; margin: 0;">1.8GHz带宽3和4端口耦合系数可选用于宽带/CATV通信系统</p>	<p style="font-size: x-small; margin: 0;">2.5GHz 带宽、2/3和4路功率分配器, 适用于50和75Ω应用。</p>	<p style="font-size: x-small; margin: 0;">50Ω和75Ω, 支持阻抗比为1:1、1:2、1:4、1:8、1:16的广泛应用。</p>	<p style="font-size: x-small; margin: 0;">精密电感和扼流圈, 线径从0.060mm到5mm, 单层和多层, 空芯, 线圈配置。</p>

www.minirf.com | sales@minirf.com | (408) 228-3533